

---

# Résolution générique “à la volée” de systèmes d’équations booléennes et applications

Radu Mateescu

*INRIA Rhône-Alpes / VASY*



---

# Plan

- Introduction
- Systèmes d'équations booléennes d'alternance 1
- Algorithmes de résolution "à la volée"
- Vérification par équivalence et logique temporelle
- Implémentation et expérimentation
- Conclusion et travaux futurs



---

# Introduction

- Vérification **énumérative** :
  - Fiabilité des systèmes concurrents à nombre fini d'états
  - Construction de l'espace d'états par énumération **explicite** des états ( $\neq$  vérification **symbolique**)
  - Adaptée aux systèmes asynchrones non-déterministes
- Approches traditionnelles :
  - Vérification par équivalence (*equivalence checking*)
  - Vérification par logique temporelle (*model checking*)
- Solution adoptée :
  - Traduction du problème de vérification vers la résolution d'un **système d'équations booléennes (SEB)**
  - Génération de **diagnostics** (fragments de l'espace d'états) expliquant le résultat de la vérification



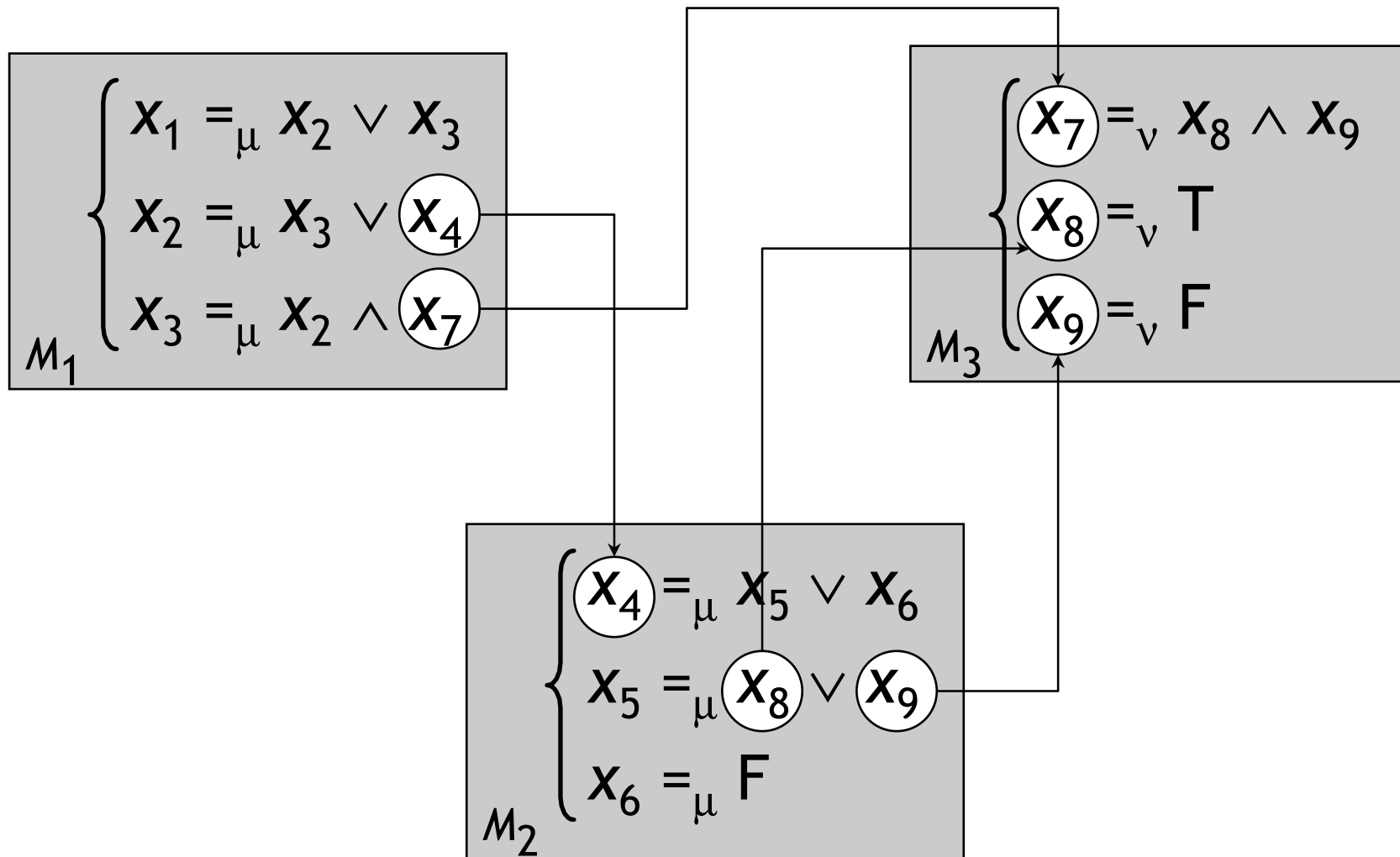
# Systemes d'equations booléennes (syntaxe)

Un SEB est un tuple  $B = (x, M_1, \dots, M_n)$ , où

- $x \in X$  : variable booléenne principale
- $M_i = \{ x_j = \sigma_i \text{ op}_j X_j \}_{j \in [1, m_i]}$  : blocs d'équations
  - $\sigma_i \in \{ \mu, \nu \}$  : signe (point fixe) du bloc  $i$
  - $\text{op}_j \in \{ \vee, \wedge \}$  : opérateur de l'équation  $j$
  - $X_j \subseteq X$  : variables en partie droite de l'équation  $j$
  - $F = \vee \emptyset$  (disjonction vide) et  $T = \wedge \emptyset$  (conjonction vide)
  - $x_j$  dépend de  $x_k$  ssi  $x_k \in X_j$
  - $M_i$  dépend de  $M_l$  ssi une  $x_j$  de  $M_i$  dépend d'une  $x_k$  de  $M_l$
  - Bloc *fermé* : ne dépend pas d'autres blocs
- SEB d'*alternance 1* :  $M_i$  ne dépend que de  $M_{i+1} \dots M_n$



# Exemple



---

# Blocs particuliers

- Bloc *acyclique* :
  - Pas de dépendances cycliques entre les variables du bloc
- Var.  $x_i$  disjonctive (conjonctive) :  $op_i = \vee$  ( $op_i = \wedge$ )
- Bloc *disjonctif* :
  - Comporte des variables disjonctives
  - Et des variables conjonctives
    - avec un seul successeur non constant dans le bloc (le dernier en partie droite de l'équation)
    - les autres successeurs sont des constantes ou des variables libres (définies dans d'autres blocs)
- Bloc *conjonctif* : définition duale



# Systemes d'equations booléennes (sémantique)

- Contexte : fonction partielle  $\delta : X \rightarrow \text{Bool}$
- Sémantique d'une formule booléenne :
  - $[[ op \{ x_1, \dots, x_p \} ]] \delta = op (\delta (x_1), \dots, \delta (x_p))$
- Sémantique d'un bloc :
  - $[[ \{ x_j =_{\sigma} op_j X_j \}_{j \in [1, m]} ]] \delta = \sigma \Phi_{\delta}$
  - $\Phi_{\delta} : \text{Bool}^m \rightarrow \text{Bool}^m$
  - $\Phi_{\delta} (b_1, \dots, b_m) = ([[ op_j X_j ]] (\delta \oplus [b_1/x_1, \dots, b_m/x_m]))_{j \in [1, m]}$
- Sémantique d'un SEB :
  - $[[ (x, M_1, \dots, M_n) ]] = \delta_1 (x)$
  - $\delta_n = [[ M_n ]] []$  ( $M_n$  fermé)
  - $\delta_i = ([[ M_i ]] \delta_{i+1}) \oplus \delta_{i+1}$  ( $M_i$  dépend de  $M_{i+1} \dots M_n$ )



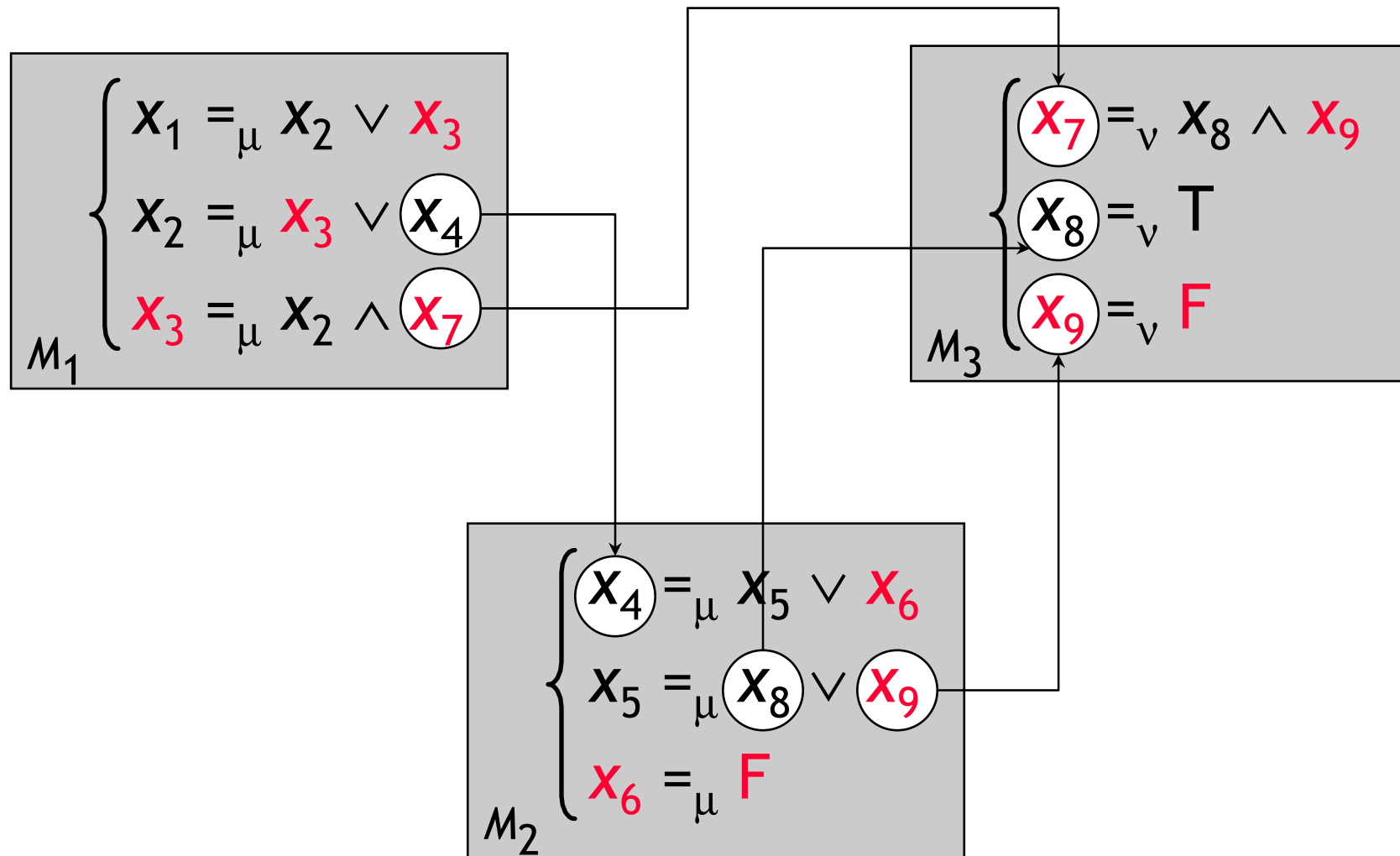
# Résolution globale

- SEB  $B = (x, M_1, \dots, M_n)$  d'alternance 1
- Primitive : calcul de la sémantique d'un bloc
  - Par ordre inverse des dépendances
$$\delta_n = [[ M_n ]] [] \quad , \quad \delta_i = ([[ M_i ]] \delta_{i+1}) \oplus \delta_{i+1}$$
  - Application « brutale » du théorème de Knaster-Tarski
$$[[ \{ x_j = \mu \text{ op}_j X_j \}_{j \text{ in } [1, m]} ]] \delta = \mu \Phi_\delta = \bigcup_{k \geq 0} \Phi_\delta^k (F, \dots, F)$$
$$[[ \{ x_j = \nu \text{ op}_j X_j \}_{j \text{ in } [1, m]} ]] \delta = \nu \Phi_\delta = \bigcap_{k \geq 0} \Phi_\delta^k (T, \dots, T)$$
  - Prendre la valeur de  $x$  dans  $M_1$  :  $\delta_1(x)$
- Inconvénients :
  - Nécessite la construction complète du SEB
  - Risque de calculer des informations « inutiles »





# Exemple

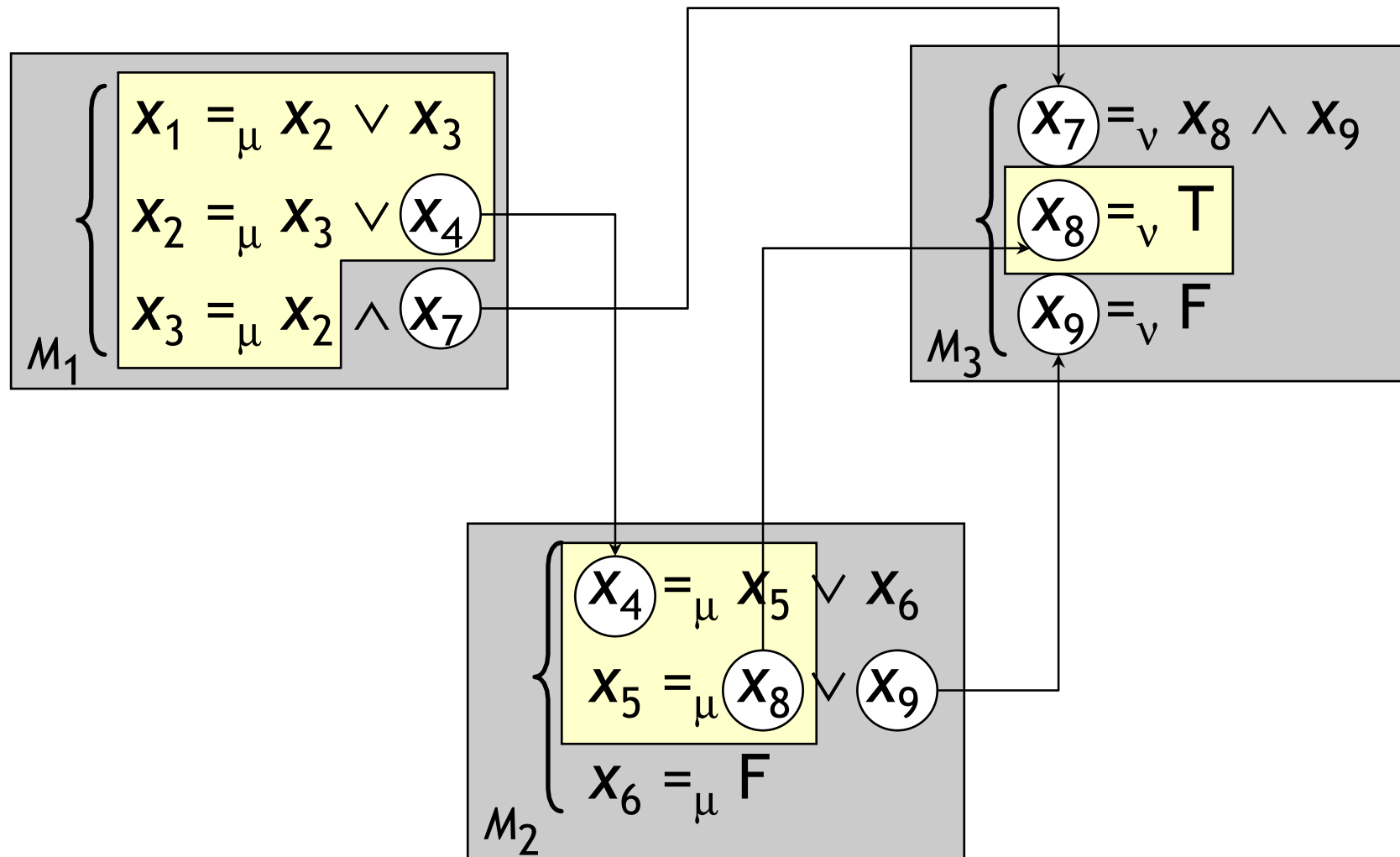


# Résolution locale

- SEB  $B = (x, M_1, \dots, M_n)$  d'alternance 1
- Primitive : calcul d'une variable d'un bloc
  - Une routine de résolution  $R_i$  associée à  $M_i$
  - $R_i(x_j)$  calcule la valeur de  $x_j$  dans  $M_i$
  - Evaluation des parties droites des équations+ substitution
  - Pile des appels  $R_1(x) \rightarrow \dots \rightarrow R_n(x_k)$  bornée par la profondeur du graphe de dépendances entre blocs
  - Style « coroutine » : chaque  $R_i$  doit garder son contexte
- Avantages :
  - Permet de construire le SEB « à la volée »
  - Calcule uniquement des informations « utiles »



# Exemple



# Principe des algorithmes locaux

- Représentation des blocs comme *graphes booléens*
- Au bloc  $M = \{ x_j =_{\mu} op_j X_j \}_{j \in [1, m]}$   
on associe le graphe booléen  $G = (V, E, L, \mu)$ , où :
  - $V = \{ x_1, \dots, x_m \}$  : ensemble de sommets (variables)
  - $E = \{ (x_i, x_j) \mid x_j \in X_i \}$  : ensemble d'arcs (dépendances)
  - $L : V \rightarrow \{ \vee, \wedge \}$ ,  $L(x_j) = op_j$  : étiquetage des sommets
- Principe des algorithmes :
  - Exploration *en avant* de  $G$  en partant de  $x \in V$
  - Propagation *en arrière* des variables stables (calculées)
  - Terminaison :  $x$  est stable ou  $G$  est exploré totalement

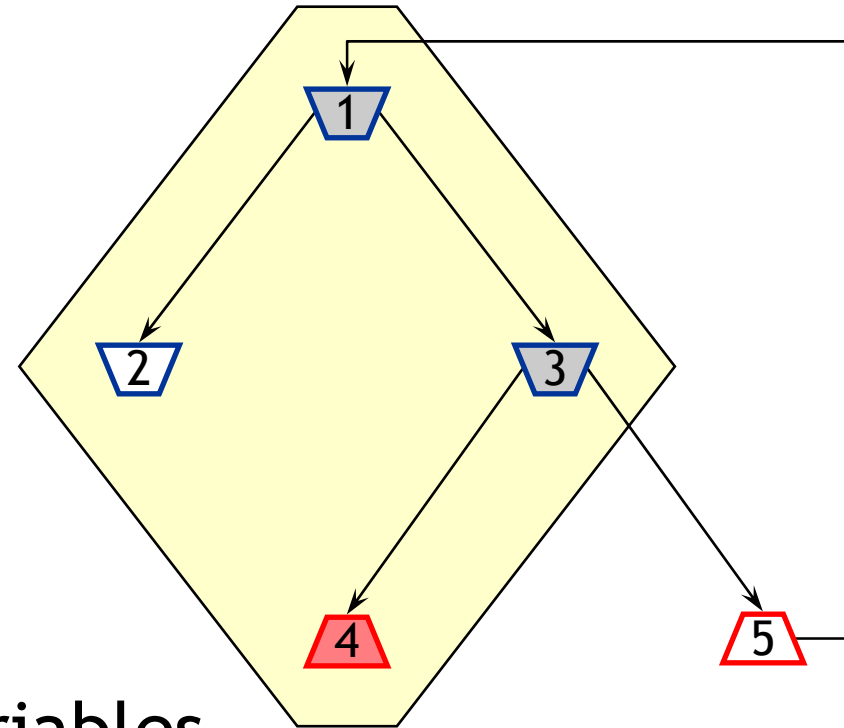


# Exemple

SEB ( $\mu$ -bloc)

graphe booléen

$$\left\{ \begin{array}{l} X_1 =_{\mu} X_2 \vee X_3 \\ X_2 =_{\mu} F \\ X_3 =_{\mu} X_4 \vee X_5 \\ X_4 =_{\mu} T \\ X_5 =_{\mu} X_1 \end{array} \right.$$



 :  $\vee$ -variables

 :  $\wedge$ -variables

# Trois critères d'efficacité

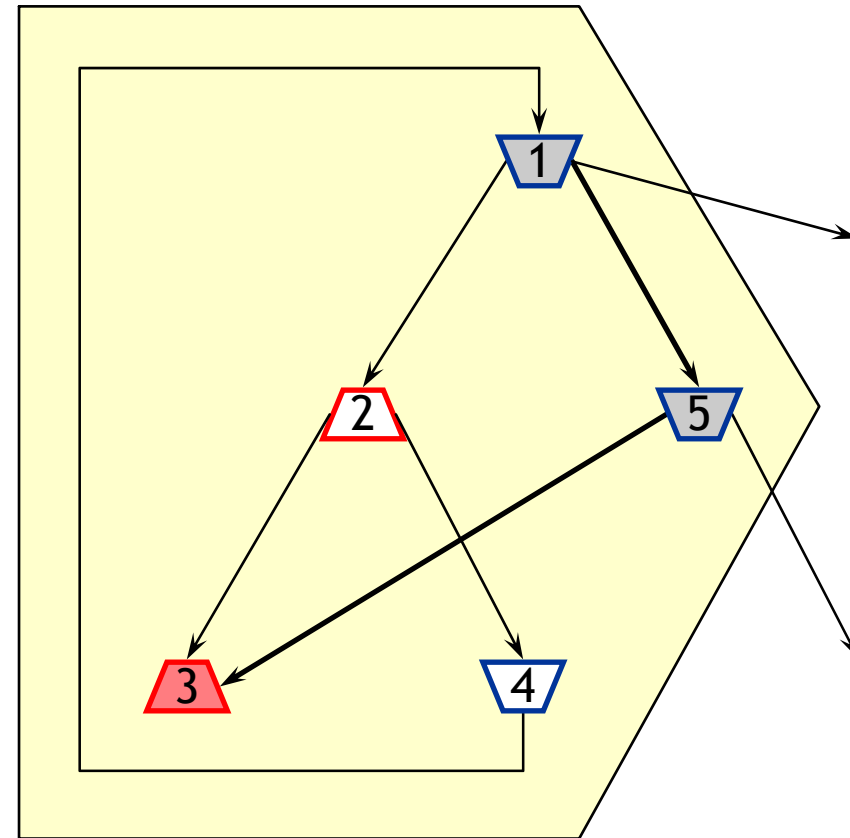
Soit  $B = (x, M_1, \dots, M_n)$  un SEB d'alternance 1.

Pour chaque routine  $R_i$  associée à  $M_i$  :

- La complexité en temps de  $R_i(x_j)$  dans le pire des cas doit être  $O(|V| + |E|)$   
→ complexité linéaire pour la résolution de  $B$
- Pendant l'exécution de  $R_i(x_j)$ , chaque nouvelle variable explorée doit être « reliée » à  $x_j$  par (au moins) une séquence de variables instables  
→ limiter l'exploration du graphe aux variables « utiles »
- Après la fin de  $R_i(x_j)$ , toutes les variables explorées doivent être stables  
→ mémoriser les résultats entre appels successifs de  $R_i(x_j)$

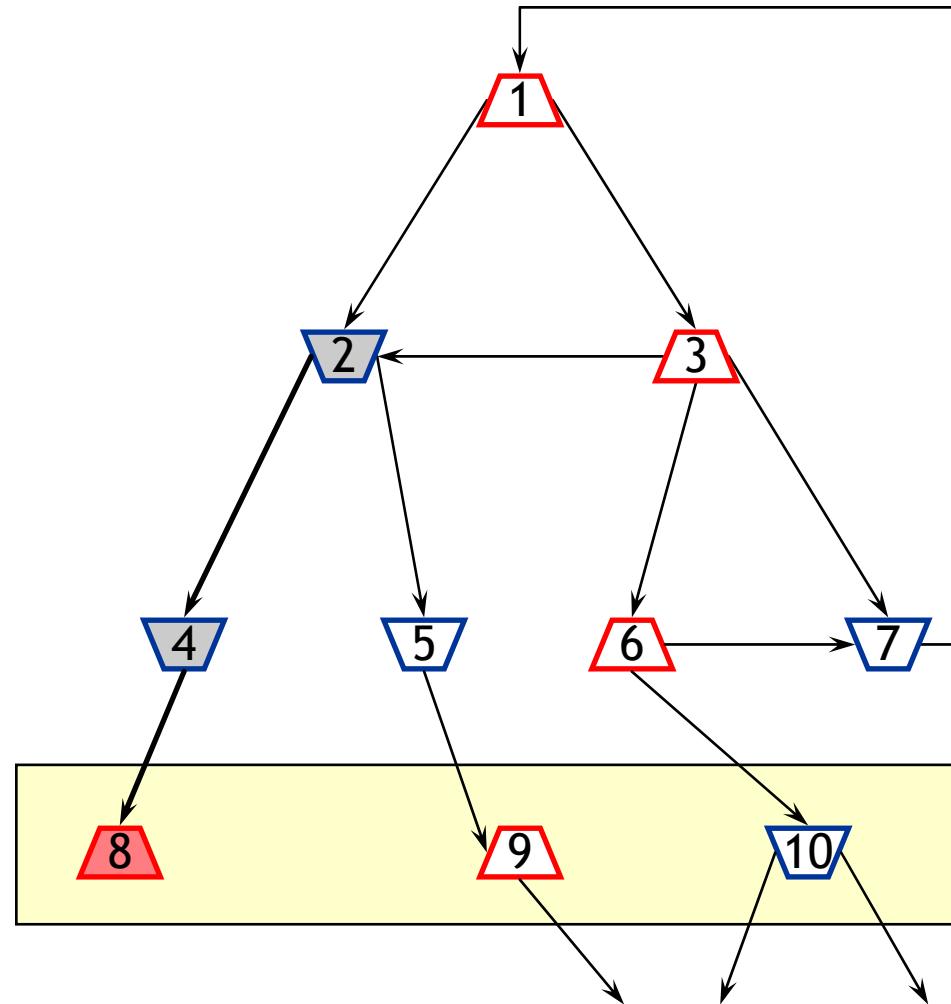
# Algorithme A1

- S'applique à tous les types de blocs
- Parcours en profondeur (DFS) du graphe booléen
- Propagation en arrière des variables stables
- Pré-calcul de diagnostic
- Satisfait A, B, C
- Complexité en mémoire  $O(|V|+|E|)$
- Version optimisée de [Andersen-94]
- Développé pour le  $\mu$ -calcul régulier (EVALUATOR 3.0) [Mateescu-Sighireanu-00]



# Algorithme A2

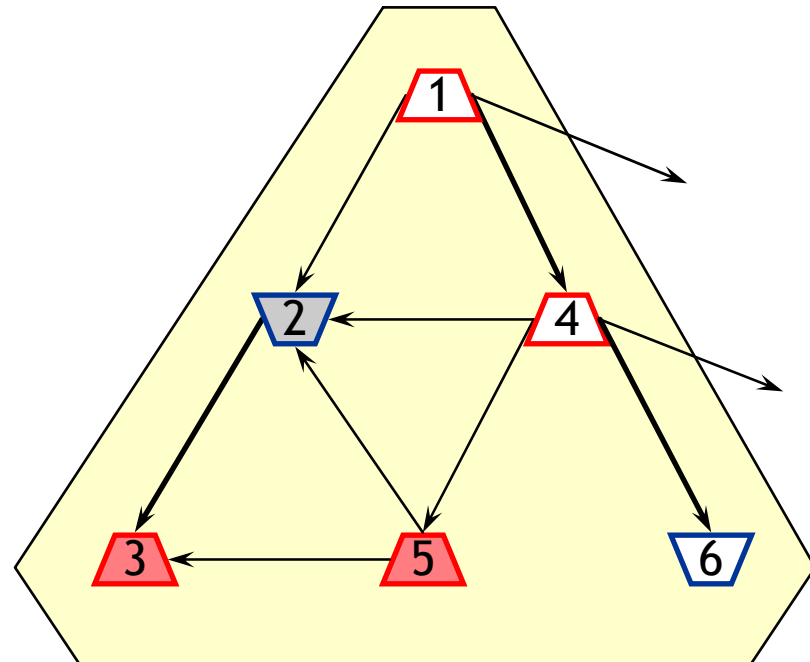
- S'applique à tous les types de blocs
- Parcours en largeur (BFS) du graphe booléen
- Propagation en arrière des variables stables
- Pré-calcul de diagnostic
- Satisfait A, C
- Complexité en mémoire  $O(|V| + |E|)$
- Diagnostics de profondeur réduite





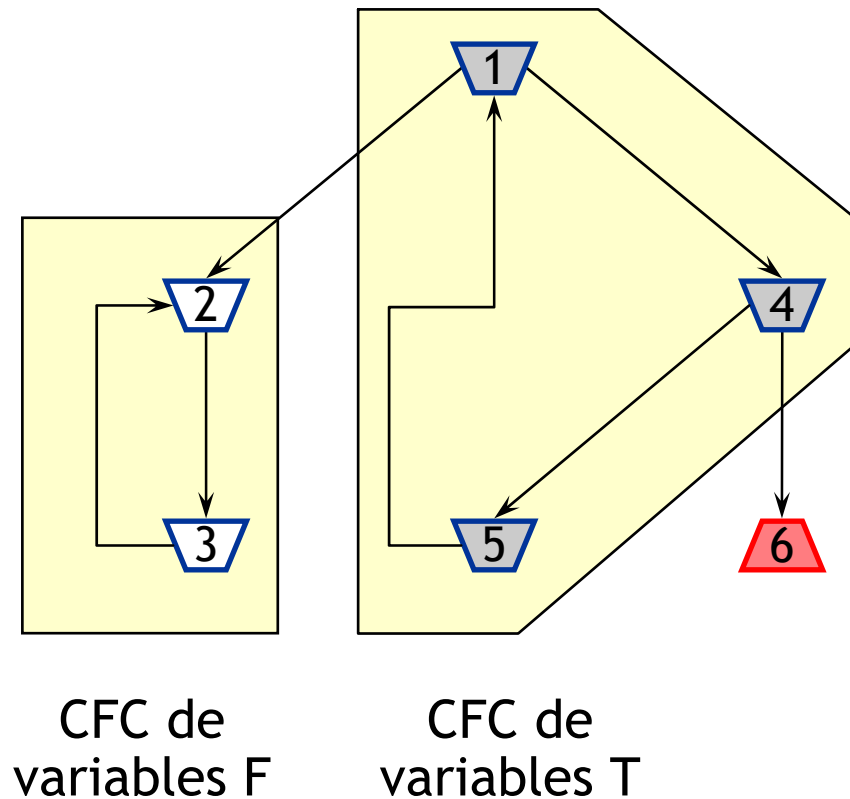
# Algorithme A3

- S'applique uniquement aux blocs *acycliques*
- Parcours DFS du graphe booléen
- Propagation en arrière des variables stables
- Pré-calcul de diagnostic
- Satisfait A, B, C
- Pas de stockage des arcs
- Complexité en mémoire  $O(|V|)$
- Développé pour vérifier des traces de simulation [Mateescu-02]



# Algorithme A4

- S'applique uniquement aux blocs *disjonctifs* ou *conjonctifs*
- Parcours en profondeur (DFS) du graphe booléen
- Propagation en arrière des variables stables
- Détection et stabilisation des CFC
- Pas de stockage des arcs
- Satisfait A, B, C
- Complexité en mémoire  $O(|V|)$



# Récapitulatif

- A1 (DFS, général)
  - Satisfait A, B, C
  - Complexité en mémoire  $O(|V|+|E|)$
- A2 (BFS, général)
  - Satisfait A, C + diagnostics « petits »
  - Complexité en mémoire  $O(|V|+|E|)$
- A3 (DFS, acyclique)
  - Satisfait A, B, C
  - Complexité en mémoire  $O(|V|)$
- A4 (DFS, disjonctif)
  - Satisfait A, B, C
  - Complexité en mémoire  $O(|V|)$

Complexité  
en temps  
 $O(|V|+|E|)$



---

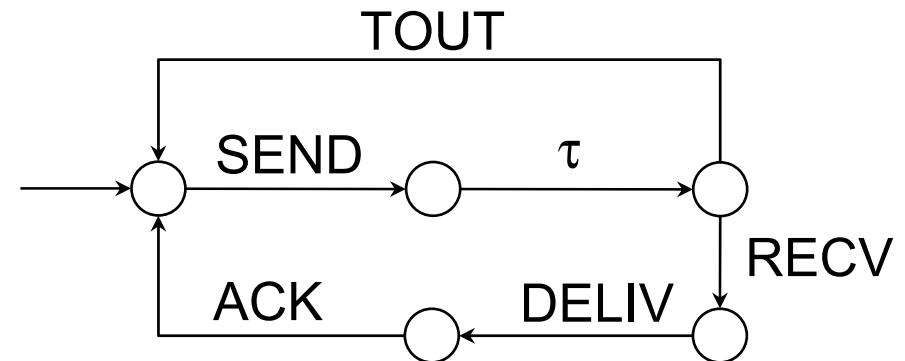
# Applications

- Vérification par *équivalences/préordres*
  - Vérification par *logiques temporelles*
- } *à la volée*



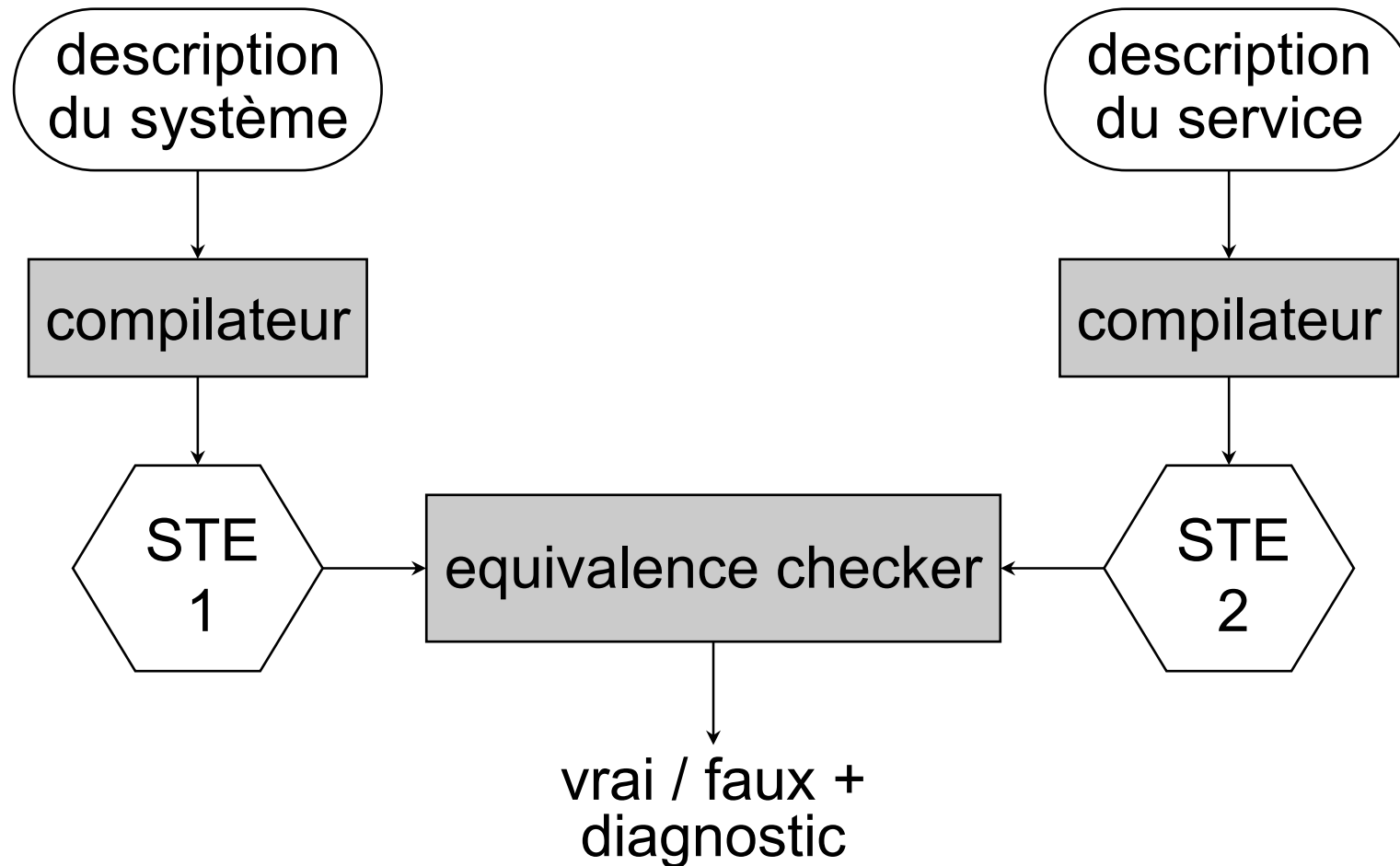
# Systemes de transitions étiquetées

- STEs : modèles pour les systemes parallèles asynchrones
- Un STE  $M = (S, A, T, s_0)$



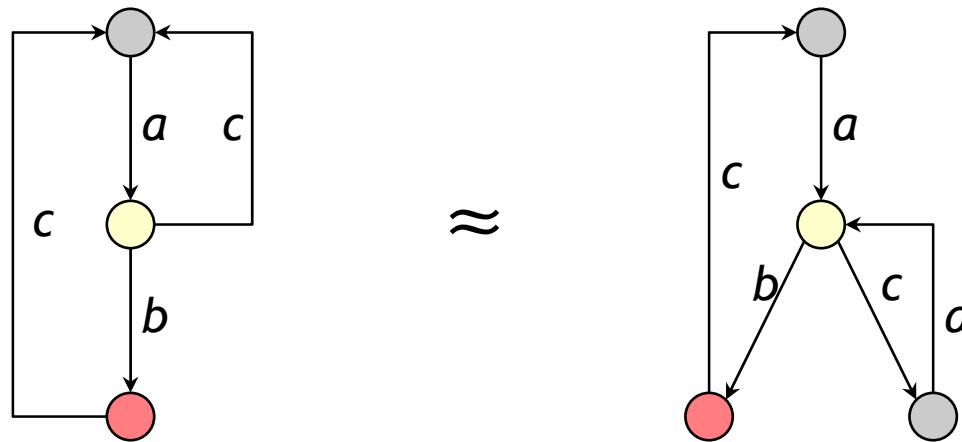
- Représentations d'un STE :
  - *explicite* (fonction « prédécesseur » et/ou « successeur »)
    - Calculs itératifs sur les ensembles d'états
    - Environnement **BCG** (*Binary Coded Graphs*) [Garavel-92]
  - *implicite* (fonction « successeur »)
    - Exploration à la volée de la relation de transition
    - Environnement **Open / Caesar** [Garavel-98]

# Vérification par équivalence (equivalence checking)



# Equivalence forte

- Soit 2 STE  $M_1 = (S_1, A, T_1, s_{01})$  et  $M_2 = (S_2, A, T_2, s_{02})$   
 $\approx \subseteq S_1 \times S_2$  est la plus grande relation t.q.  $s_1 \approx s_2$  ssi  
 $\forall a \in A . \forall s_1 \rightarrow_a s_1' \in T_1 . \exists s_2 \rightarrow_a s_2' \in T_2 . s_1' \approx s_2'$   
 et  
 $\forall a \in A . \forall s_2 \rightarrow_a s_2' \in T_2 . \exists s_1 \rightarrow_a s_1' \in T_1 . s_1' \approx s_2'$
- $M_1 \approx M_2$  ssi  $s_{01} \approx s_{02}$



# Traduction vers un SEB

- Principe :  $s_1 \approx s_2$  ssi  $X_{s_1, s_2}$  est vraie

- SEB général :

$$\left\{ \begin{array}{l} X_{s_1, s_2} =_v (\wedge_{s_1 \rightarrow a s_1'} \vee_{s_2 \rightarrow a s_2'} X_{s_1', s_2'}) \\ \wedge \\ (\wedge_{s_2 \rightarrow a s_2'} \vee_{s_1 \rightarrow a s_1'} X_{s_1', s_2'}) \end{array} \right.$$

- SEB simplifié :

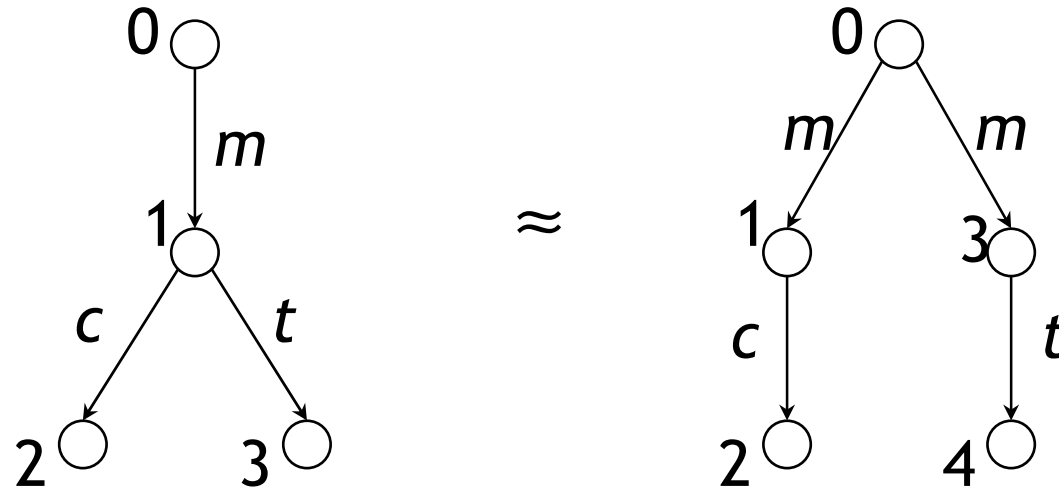
$$\left\{ \begin{array}{l} X_{s_1, s_2} =_v (\wedge_{s_1 \rightarrow a s_1'} Y_{a, s_1', s_2}) \\ Y_{a, s_1', s_2} =_v \vee_{s_2 \rightarrow a s_2'} X_{s_1', s_2'} \\ Z_{a, s_1, s_2'} =_v \vee_{s_1 \rightarrow a s_1'} X_{s_1', s_2'} \end{array} \right. \wedge (\wedge_{s_2 \rightarrow a s_2'} Z_{a, s_1, s_2'})$$

$s_1 \leq s_2$   
 (préordre)





# Exemple



SEB général :

$$\begin{cases} X_{00} =_v (X_{11} \vee X_{13}) \wedge X_{11} \wedge X_{13} \\ X_{11} =_v (X_{22} \wedge F) \wedge X_{22} \\ X_{13} =_v (F \wedge X_{34}) \wedge X_{34} \end{cases}$$

SEB simplifié :

$$\begin{cases} X_{00} =_v Y \wedge X_{11} \wedge X_{13} \\ Y =_v X_{11} \vee X_{13} \\ X_{11} =_v (X_{22} \wedge F) \wedge X_{22} \\ X_{13} =_v (F \wedge X_{34}) \wedge X_{34} \end{cases}$$



# SEB acyclique

- Graphe booléen *acyclique* :
  - Un des deux STEs est *acyclique* (séquence, arbre, ...)
  - $X_{s1,s2} \xrightarrow{a} X_{s1',s2'} \xrightarrow{b} X_{s1'',s2''} \xrightarrow{c} \dots$
- Application de l'algorithme A3 (mémoire ↓)
- Utile surtout pour la vérification par *préordre*
- Exemple : relecture de séquences d'exécution
  - STE 1 : modélisation d'un système
  - STE 2 : ensemble de scénarios d'exécution / simulation
  - Vérifier que STE 1 *accepte* STE 2



# SEB conjonctif

- Graphe booléen *conjonctif* :

- Préordre  $STE1 \leq STE2$  et  $STE2$  *déterministe* (+ vice-versa)

- Equivalence et un des deux STEs est *déterministe*

- $$\begin{aligned} X_{s1,s2} &= \left( \bigwedge_{s1 \rightarrow a s1a'} \bigvee_{s2 \rightarrow a s2'} X_{s1a',s2'} \right) \wedge \\ &\quad \left( \bigwedge_{s1 \rightarrow b s1b'} \bigvee_{s2 \rightarrow b s2'} X_{s1b',s2'} \right) \wedge \\ &\quad \dots \\ &\quad \left( \bigwedge_{s2 \rightarrow l s2'} \bigvee_{s1 \rightarrow l s1a'} X_{s1l',s2'} \right) \\ &= \left( \bigvee_{s2 \rightarrow a s2'} X_{s1a',s2'} \right) \wedge \left( \bigvee_{s2 \rightarrow b s2'} X_{s1b',s2'} \right) \wedge \dots \wedge \\ &\quad \left( \bigwedge_{s2 \rightarrow l s2'} X_{s1l',s2'} \right) \\ &= \bigwedge_{s2 \rightarrow l s2'} X_{s1l',s2'} \end{aligned}$$

- Application de l'algorithme A4 (mémoire ↓)



# Equivalences faibles

- Soit 2 STE  $M_1 = (S_1, A_\tau, T_1, s_{01})$ ,  $M_2 = (S_2, A_\tau, T_2, s_{02})$   
 $\tau$  : action interne,  $A_\tau = A \cup \{ \tau \}$
- Equivalence  $\tau^*.a$  :  
$$\left\{ \begin{array}{l} X_{s1,s2} =_v (\wedge_{s1 \rightarrow \tau^*.a s1'} \vee_{s2 \rightarrow \tau^*.a s2'} X_{s1',s2'}) \\ \wedge \\ (\wedge_{s2 \rightarrow \tau^*.a s2'} \vee_{s1 \rightarrow \tau^*.a s1'} X_{s1',s2'}) \end{array} \right.$$
- Equivalence de sûreté :  
$$\left\{ \begin{array}{l} X_{s1,s2} =_v Y_{s1,s2} \wedge Y_{s2,s1} \\ Y_{s1,s2} =_v (\wedge_{s1 \rightarrow \tau^*.a s1'} \vee_{s2 \rightarrow \tau^*.a s2'} Y_{s1',s2'}) \end{array} \right.$$
- Schéma similaire :
  - équivalence observationnelle, de branchement, delay, ...

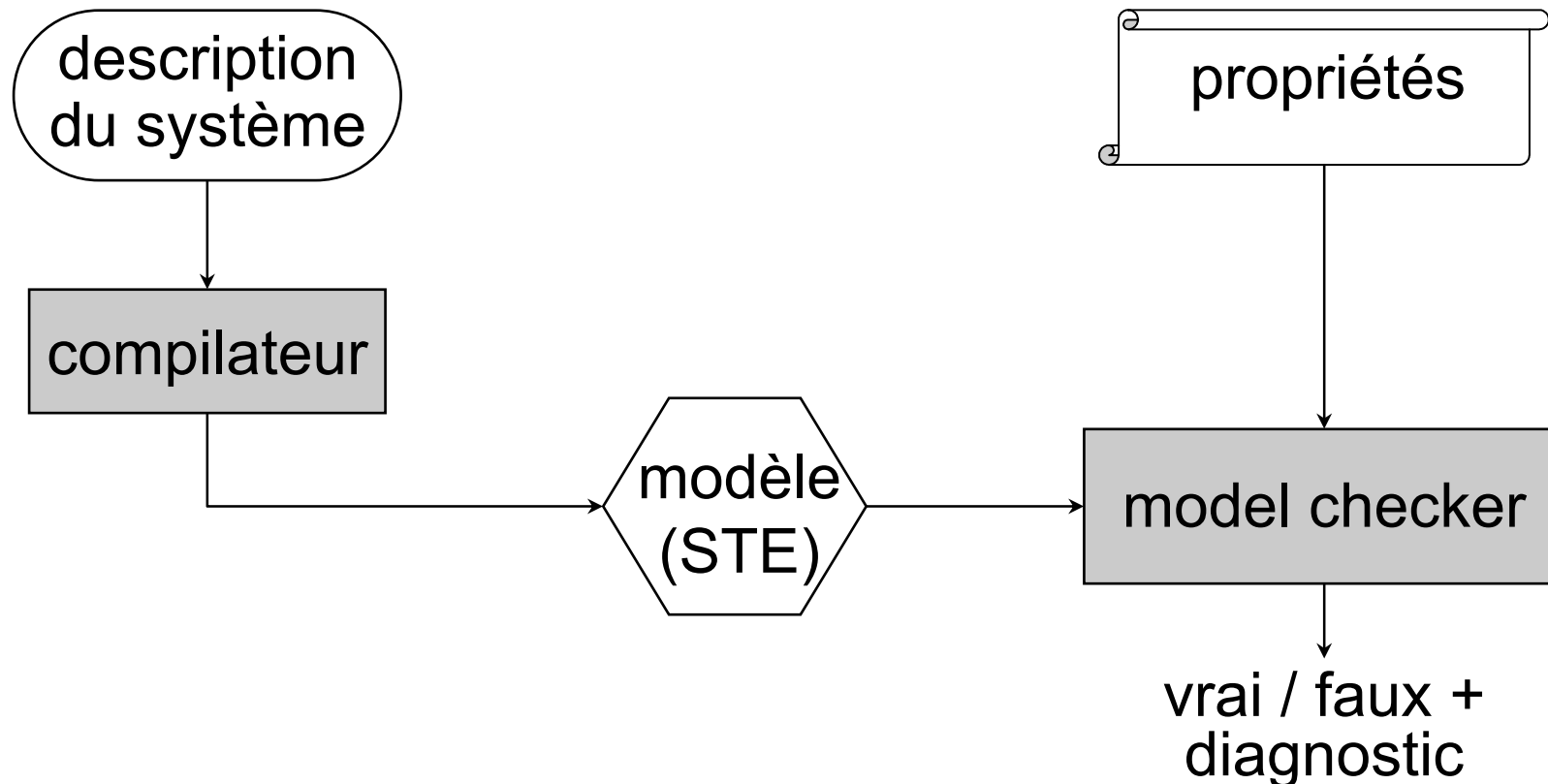
---

# Récapitulatif

- Graphe booléen *général* :
  - Toutes les équivalences et leurs préordres
  - Algorithmes **A1** et **A2**
- Graphe booléen *acyclique* :
  - Forte : un des deux STEs acyclique
  - $\tau^*.a$  et sûreté : un STE acyclique (circuits de  $\tau$  autorisés)
  - Branching et observationnelle : les deux STEs acycliques
  - Algorithme **A3** (mémoire  $\downarrow$ )
- Graphe booléen *conjonctif* :
  - Toutes les équivalences : un des deux STE déterministe
  - Algorithme **A4** (mémoire  $\downarrow$ )



# Vérification par logique temporelle (model checking)



# Mu-calcul modal

- Soit  $M = (S, A, T, s_0)$  un STE.
- Syntaxe du  $\mu$ -calcul modal :

*Formules sur actions*

$\alpha ::= a \mid \neg\alpha \mid \alpha_1 \vee \alpha_2$

*Formules sur états*

$\varphi ::= F \mid \neg\varphi \mid \varphi_1 \vee \varphi_2 \mid \langle \alpha \rangle \varphi \mid X \mid \mu X . \varphi$

# Formules sur actions

Soit  $M = (S, A, T, s_0)$ . Sémantique  $[[ \alpha ]] \subseteq A$  :

- $[[ a ]] = \{ a \}$
- $[[ \neg \alpha ]] = A \setminus [[ \alpha ]]$
- $[[ \alpha_1 \vee \alpha_2 ]] = [[ \alpha_1 ]] \cup [[ \alpha_2 ]]$

Opérateurs dérivés :

- $T = a \vee \neg a$
- $F = \neg T$
- $\alpha_1 \wedge \alpha_2 = \neg(\neg \alpha_1 \vee \neg \alpha_2)$
- $\alpha_1 \Rightarrow \alpha_2 = \neg \alpha_1 \vee \alpha_2$
- $\alpha_1 \Leftrightarrow \alpha_2 = (\alpha_1 \Rightarrow \alpha_2) \wedge (\alpha_2 \Rightarrow \alpha_1)$





# Formules sur états

Contexte  $\rho : Y \rightarrow 2^S$ . Sémantique  $[[ \varphi ]]\rho \subseteq S$  :

- $[[ F ]]\rho = \emptyset$
- $[[ \neg\varphi ]]\rho = S \setminus [[ \varphi ]]\rho$
- $[[ \varphi_1 \vee \varphi_2 ]]\rho = [[ \varphi_1 ]]\rho \cup [[ \varphi_2 ]]\rho$
- $[[ \langle \alpha \rangle \varphi ]]\rho = \{ s \in S \mid \exists (s, a, s') \in T. a \in [[ \alpha ]]\rho \wedge s' \in [[ \varphi ]]\rho \}$
- $[[ Y ]]\rho = \rho(Y)$
- $[[ \mu Y . \varphi ]]\rho = \bigcup_{k \geq 0} \Phi_\rho^k(\emptyset)$   
 $\Phi_\rho : 2^S \rightarrow 2^S, \Phi_\rho(U) = [[ \varphi ]]\rho[U/Y]$

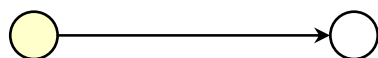
Opérateurs dérivés :

- $[ \alpha ] \varphi = \neg \langle \alpha \rangle \neg \varphi$
- $\nu Y . \varphi = \neg \mu Y . \neg \varphi [ \neg Y / Y ]$

# Exemples

- Absence de blocage sur l'état courant

$\langle T \rangle T$



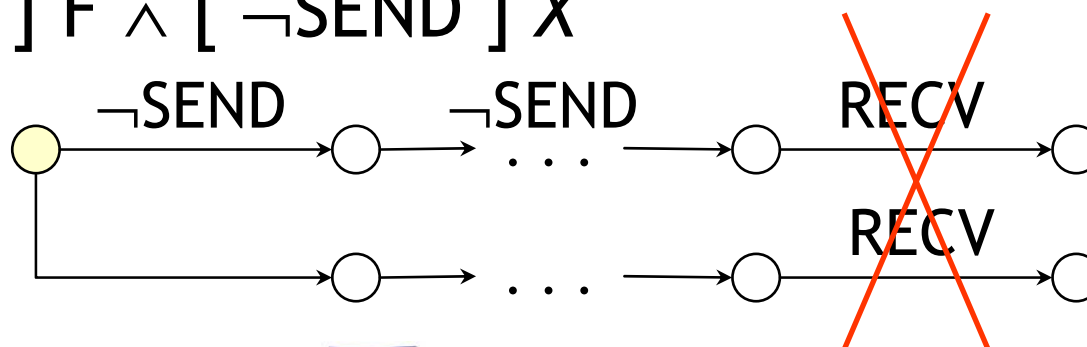
- Accessibilité potentielle d'une action  $a$

$\mu X . \langle a \rangle T \vee \langle T \rangle X$



- Pas de RECV avant un SEND

$\nu X . [ \text{RECV} ] F \wedge [ \neg \text{SEND} ] X$



# Mu-calcul d'alternance 1

- Absence de récursion mutuelle entre les formules de plus petit et de plus grand point fixe

- Exemple :

“après chaque SEND, il y aura potentiellement un RECV”

$$\nu X . [ \text{SEND} ] ( \mu Y . \langle \text{RECV} \rangle T \vee \langle T \rangle Y ) \wedge [ T ] X$$

- Variante équationnelle :

$$\{ X =_{\nu} [ \text{SEND} ] Y \wedge [ T ] X \}$$

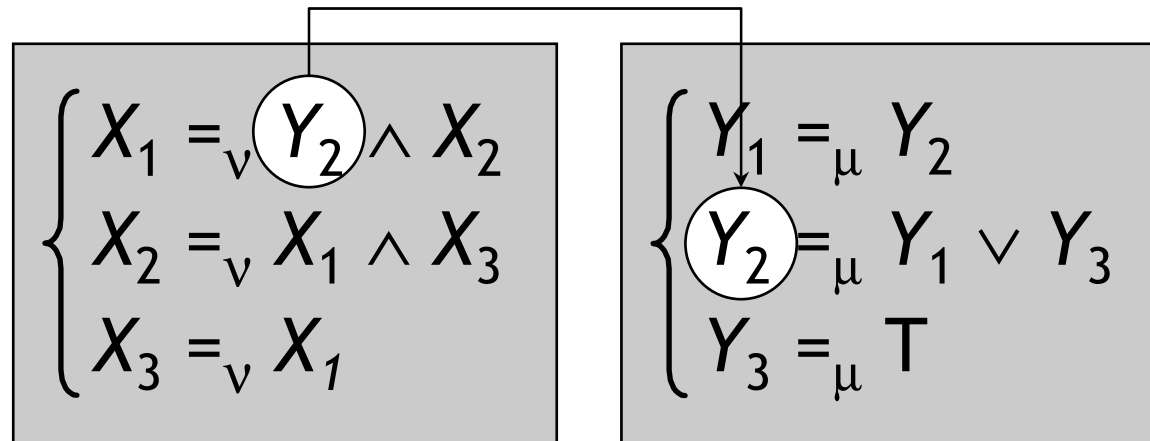
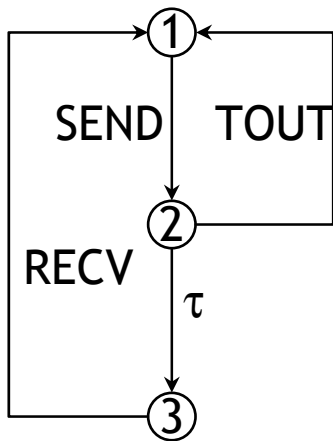
$$\{ Y =_{\mu} \langle \text{RECV} \rangle T \vee \langle T \rangle Y \}$$

pas de dépendances cycliques entre les blocs



# Traduction vers SEB d'alternance 1

- Principe :  $s \models X$  ssi  $X_s$  est vraie
- Propriété :  $\{ X =_v [ \text{SEND} ] Y \wedge [ \text{T} ] X \}$   
 $\{ Y =_\mu \langle \text{RECV} \rangle T \vee \langle \text{T} \rangle Y \}$
- SEB :  $\{ X_s =_v (\wedge_{s \rightarrow \text{SEND } s'} Y_{s'}) \wedge (\wedge_{s \rightarrow s'} X_{s'}) \}$   
 $\{ Y_s =_\mu (\vee_{s \rightarrow \text{RECV } s'} T) \vee (\vee_{s \rightarrow s'} Y_{s'}) \}$



# SEB acyclique

- Graphe booléen *acyclique* :
  - STE *acyclique* et formules *gardées*
- Traductions des opérateurs de CTL (et ACTL) :
  - $E [\varphi_1 U \varphi_2] = \mu X . \varphi_2 \vee (\varphi_1 \wedge \langle T \rangle X)$
  - $A [\varphi_1 U \varphi_2] = \mu X . \varphi_2 \vee (\varphi_1 \wedge \langle T \rangle T \wedge [ T ] X)$
- Réduction pour le  $\mu$ -calcul complet [Mateescu-02]
  - Elimination des opérateurs de plus grand point fixe  
→ formule d'alternance 1
  - Traduction en forme gardée (taille quadratique)
- Application de l'algorithme A3 (mémoire ↓)

# SEB disjonctif

- Graphe booléen *disjonctif* :

- Opérateur de *potentialité* de CTL

$$E [\varphi_1 \text{ U } \varphi_2] = \mu X . \varphi_2 \vee (\varphi_1 \wedge \langle \text{T} \rangle X)$$

$$\{ X =_{\mu} \varphi_2 \vee Y , Y =_{\mu} \varphi_1 \wedge Z , Z =_{\mu} \langle \text{T} \rangle X \}$$

$$\{ X_s =_{\mu} \varphi_{2s} \vee Y_s , Y_s =_{\mu} \varphi_{1s} \wedge Z_s , Z_s =_{\mu} \bigvee_{s \rightarrow s'} X_{s'} \}$$

- Modalité de *possibilité* de PDL

$$\langle (a \mid b)^* . c \rangle \text{T}$$

$$\{ X =_{\mu} \langle c \rangle \text{T} \vee \langle a \rangle X \vee \langle b \rangle X \}$$

$$\{ X_s =_{\mu} (\bigvee_{s \rightarrow c s'} \text{T}) \vee (\bigvee_{s \rightarrow a s'} X_{s'}) \vee (\bigvee_{s \rightarrow b s'} X_{s'}) \}$$

- Application de l'algorithme A4 (mémoire ↓)

# SEB conjonctif

- Graphe booléen *conjonctif* :

- Opérateur d'*inévitabilité* de CTL

$$A [\varphi_1 \text{ U } \varphi_2] = \mu X . \varphi_2 \vee (\varphi_1 \wedge \langle T \rangle T \wedge [T] X)$$

$$\{ X =_{\mu} \varphi_2 \vee Y , Y =_{\mu} \varphi_1 \wedge Z \wedge [T] X , Z =_{\mu} \langle T \rangle T \}$$

$$\{ X_s =_{\mu} \varphi_{2s} \vee Y_s , Y_s =_{\mu} \varphi_{1s} \wedge Z_s \wedge (\wedge_{s \rightarrow s'} X_{s'}) , Z_s =_{\mu} \vee_{s \rightarrow s'} T \}$$

- Modalité de *nécessité* de PDL

$$[ (a \mid b)^* . c ] F$$

$$\{ X =_{\mu} [c] F \wedge [a] X \wedge [b] X \}$$

$$\{ X_s =_{\mu} (\wedge_{s \rightarrow c s'} F) \wedge (\wedge_{s \rightarrow a s'} X_{s'}) \wedge (\wedge_{s \rightarrow b s'} X_{s'}) \}$$

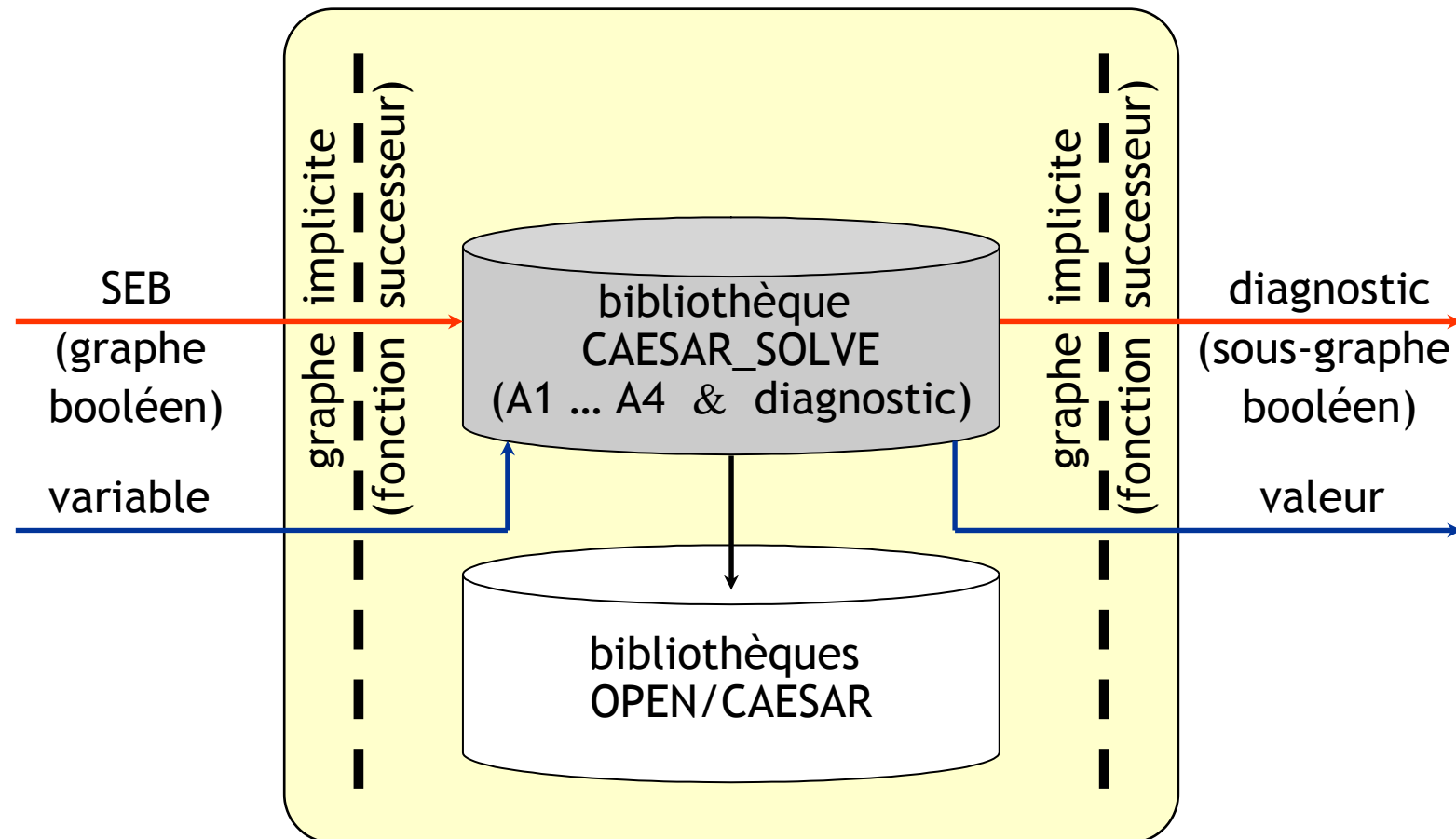
- Application de l'algorithme A4 (mémoire ↓)

# Récapitulatif

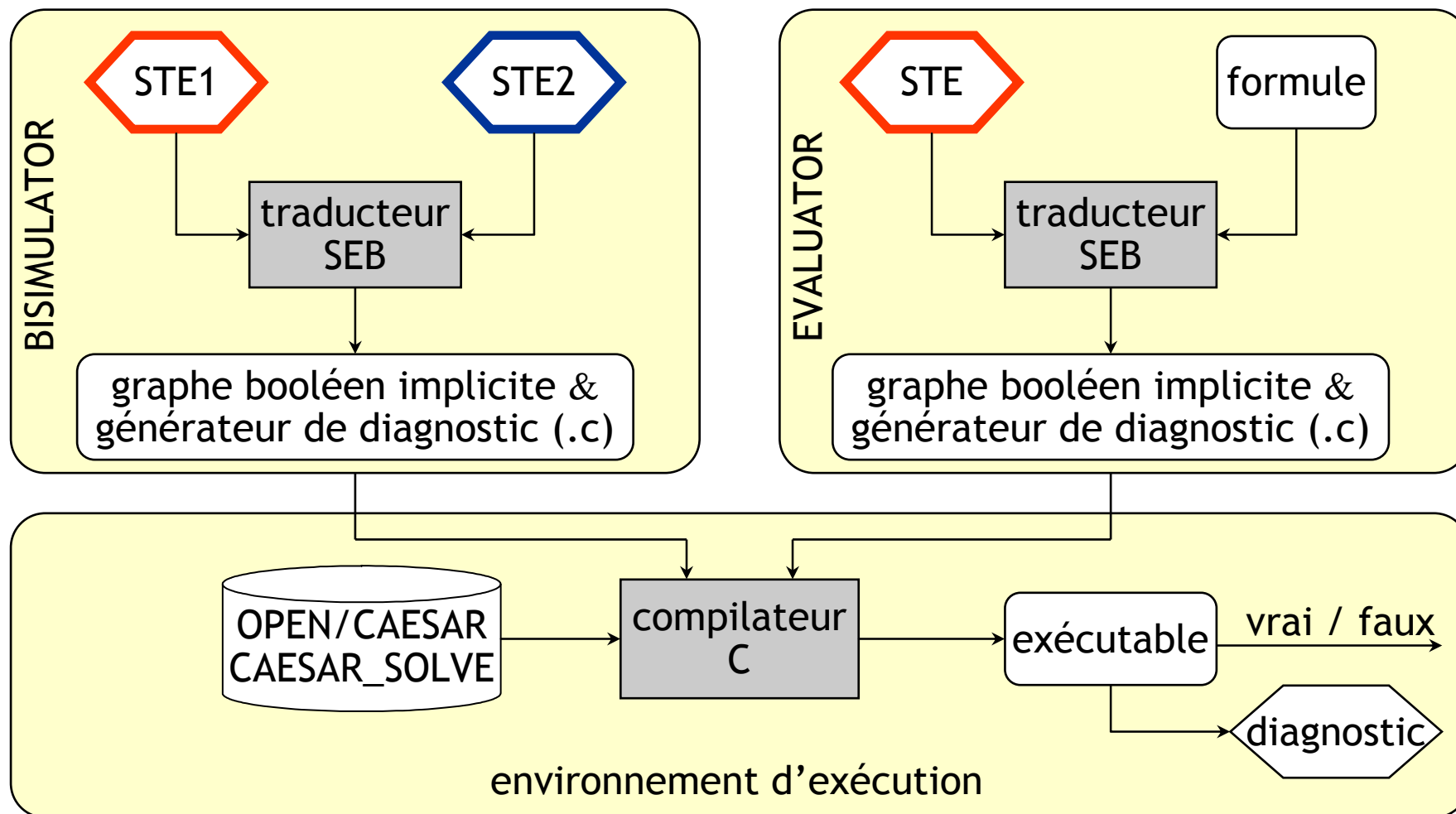
- Graphe booléen *général* :
  - STE quelconque et formule de  $\mu$ -calcul d'alternance 1
  - Algorithmes **A1** et **A2**
- Graphe booléen *acyclique* :
  - STE acyclique et formule gardée (CTL, ACTL)
  - STE acyclique et formule de  $\mu$ -calcul (+ réduction)
  - Algorithme **A3** (mémoire  $\downarrow$ )
- Graphe booléen *disjonctif* / *conjonctif* :
  - STE quelconque et formules de CTL, ACTL, PDL
  - Algorithme **A4** (mémoire  $\downarrow$ )



# Bibliothèque CAESAR\_SOLVE



# BISIMULATOR et EVALUATOR



---

# Quelques mesures de performances

- Trois protocoles de communication (ABP, BRP, LEP)
- Algorithme A2 versus A1 :
  - Comparaison STE protocole - STE erroné (strong)
  - Vérification propriété fausse sur STE protocole
  - Réductions de 75 % - 99 % en profondeur du diagnostic
- Algorithme A3 versus A1 :
  - Relecture de séquences (100000 transitions) dans le STE
  - Vérification de propriétés sur les séquences
  - Gains de 15 % - 27 % en mémoire
- Algorithme A4 versus A1 :
  - Comparaison STE protocole - STE service ( $\tau^*.a$ )
  - Vérification de propriétés (ACTL + PDL)
  - Gains de 12 % - 63 % en mémoire

---

# Conclusion et travaux futurs

## Bilan :

- Algorithmes de résolution locale des SEBs
- Génération de diagnostics
- Deux applications : BISIMULATOR et EVALUATOR
- Bibliothèque générique CAESAR\_SOLVE

## Perspectives :

- Nouveaux algorithmes (« single-scan » sur traces)
- Nouvelles applications (génération de tests)
- Parallélisation sur grappes de PC

